

# PIEZOELEKTRIČNI AKTUATOR

M. Modic, M. Kosec, J. Pirš, J. Možina

**KLJUČNE BESEDE:** piezoelektrični aktuatorji, večplastni aktuatorji, keramični aktuatorji, keramika PZT, dinamične karakteristike, statične karakteristike, pomik, histerezis, izdelava, eksperimentalni rezultati

**POVZETEK:** V delu smo na kratko opisali delovanje in uporabnost piezoelektričnih aktuatorjev. Izdelali smo večplastni aktuator iz "mehke" piezokeramike na osnovi  $Pb(Zr,Ti)O_3$ . Analizirali smo njegovo obnašanje; pomik in histerezis pri statični in dinamični električni obremenitvi. Odstopanja od modela smo pojasnili z lastnostmi piezokeramike.

## PIEZOELECTRIC CERAMIC ACTUATOR

**KEY WORDS:** piezoelectric actuators, multilayer actuators, ceramic actuators, PZT ceramics, dynamic characteristics, static characteristics, displacement, hysteresis, fabrication, experimental results

**ABSTRACT:** The applications of piezoelectric actuators are briefly reviewed. The multilayer piezoelectric actuator was fabricated using "soft" piezoceramics based on  $Pb(Zr,Ti)O_3$  solid solution. The static and dynamic characteristics were measured. The discrepancy between measured and calculated values is discussed in terms of piezoceramic internal structure.

### 1. UVOD

Piezoelektrični aktuatorji so elektromehanske naprave, pri katerih se piezoelektrični pojav izkorišča za spremembo dimenij z električno napetostjo. Piezoelektrični aktuatorji so narejeni iz feroelektričnih keramičnih materialov. Zadnja leta so ob uporabi novih feroelektričnih keramičnih materialov razvili več vrst piezoelektričnih aktuatorjev, ki jih, v primerjavi z doslej prevladujočimi elektromagnetnimi, odlikuje možnost krmiljenja pomikov reda velikosti nekaj stotink  $\mu\text{m}$ , majhna poraba energije, zanemarljivo segrevanje in majhna zakasnitev (nekaj s) pomika za električnim signalom. Piezoelektrične aktuatorje največ uporabljajo na področjih optike, precizne mehanike in v malih motorjih.

Piezoelektrične aktuatorje lahko po konstrukciji razdelimo v dve skupini. V prvi skupini so dvoplastni aktuatorji, ki jih dobimo, če zlepimo dve keramični ploščici s polarizacijama v nasprotnih smereh. V drugi skupini pa so

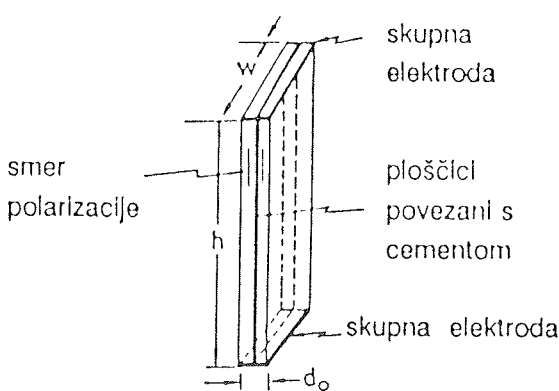
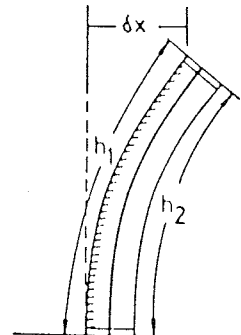
mnogoplastni aktuatorji, kjer so ploščice zlepiljene v stolpec.

Najprej si oglejmo primer dvoplastnega aktuatorja, njegovo konstrukcijo kaže slika 1<sup>(1)</sup>.

Dve keramični ploščici s polarizacijami v nasprotnih smereh sta povezani s plastjo cementa. Aktuator ima dve elektrodi, spodnjo in zgornjo. Ko na elektrodi pripeljemo električno napetost, pride do obratnega piezoelektričnega pojava; ploščica, v kateri ima polarizacija smer električnega polja, se podaljša, druga ploščica pa se skrajša. Posledica različne deformacije obeh ploščic je upogib aktuatorja (slika 2).

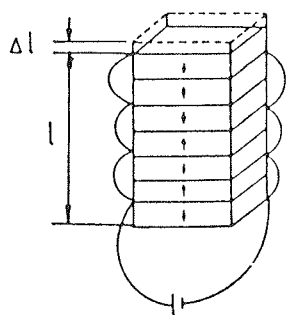
Z upoštevanjem osnovnih geometrijskih enačb in ob predpostavki, da sta ploščici dolgi in tanki, dobimo za pomik  $x$  enačbo:

$$\delta x = \frac{h_1 \cdot (h_1 - h_2)}{2 \cdot d_0} = \frac{h^2}{2 \cdot d_0} \cdot \left( \frac{2 \delta h}{h} \right)$$



Slika 1: Konstrukcija dvoplastnega aktuatorja

Slika 2: Upogib aktuatorja, ki je posledica obratnega piezoelektričnega pojava v obeh ploščicah



Slika 3: Konstrukcija mnogoplastnega aktuatorja, puščice kažejo smer polarizacij posameznih ploščic

Velja tudi  $\varepsilon_3 = \delta h/h = d_{33} \cdot E_3$ , kjer je  $d_{33}$  piezoelektrična konstanta ( $\text{mV}^{-1}$ ) in  $E$  jakost električnega polja ( $\text{V m}^{-1}$ ). Indeks 3 označuje smer polarizacije.

Upogib aktuatorja je torej tako odvisen od električnega polja  $E_3$ :

$$\delta x = \frac{h_2}{d_0} \cdot d_{33} \cdot E_3$$

Oglejmo si še primer mnogoplastnega aktuatorja<sup>(2)</sup>.

Keramične ploščice so zlepljene v aktuator kot kaže slika 3. Vsaka ploščica ima dve elektrodi, na spodnji in na zgornji ploskvi. Stiki med ploščicami so izmenoma priključeni na +, oz. - pol generatorja. Vse ploščice v aktuatorju so tako vzporedno električno vezane.

Za pomik ene ploščice velja enačba

$$\varepsilon_3 = \frac{\Delta z}{z} = d_{33} \cdot E_3, \text{ kjer je } z \text{ debelina ploščice in}$$

$$\Delta z = d_{33} \cdot E_3 \cdot z = d_{33} \cdot U, \text{ kjer je } U \text{ napetost med elektrodama.}$$

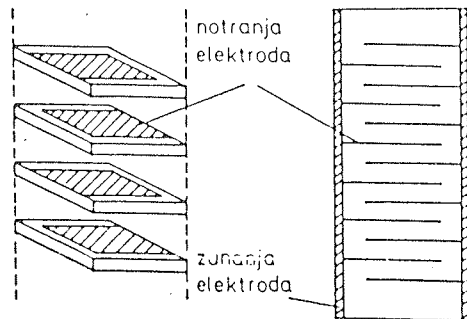
Pomik v smeri polarizacije celotnega aktuatorja je v prvi aproksimaciji, ko zanemarimo vplive lepila na pomik, vsota pomikov posameznih ploščic:

$$\Delta l = n \cdot \Delta z = n \cdot d_{33} \cdot U, \text{ kjer je } n \text{ število ploščic v aktuatorju.}$$

Vidimo, da lahko pomik aktuatorja zvečamo z dodajanjem novih ploščic, zato lahko velike pomike (nekaj  $\mu\text{m}$ ) dobimo tudi pri nizkih napetostih (nekaj sto V).

Elektrode je na spodnjo in zgornjo ploskev ploščice treba nanesti tako, da lahko zlepljene ploščice pravilno električno vežemo. Eno izmed možnosti kaže slika 4<sup>(2)</sup>.

Keramične ploščice so kvadratne oblike, vsaka elektroda pa sega do roba ploščice samo ob eni stranici. Če na zgornji ploskvi ploščice elektroda sega do roba ob leve stranici, bo na spodnji ploskvi iste ploščice elektroda segala do roba ob desni stranici. Ob lepljenju takšnih ploščic je treba paziti, da imata dve sosednji ploščici



Slika 4: Ena od možnih konfiguracij elektrod v mnogoplastnem aktuatorju

nasprotno smer polarizacije in da sta ob vsakem stiku dveh ploščic zgornja elektroda spodnje ploščice in spodnja elektroda zgornje ploščice obrnjeni v isto smer (če zgornja elektroda spodnje ploščice sega do desnega roba, mora tudi spodnja elektroda zgornje ploščice segati do desnega roba). Ko so ploščice zlepljene, vse leve robove povežemo z eno, vse desne pa z drugo zunanjim elektrodom.

## 2. EKSPERIMENTALNO DELO

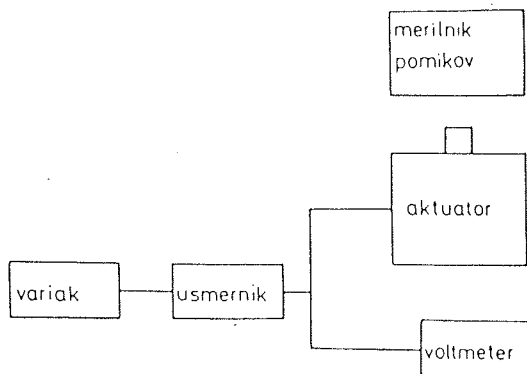
### 2.1 Izbera materiala

Cilj dela je bil konstrukcija, izdelava in karakterizacija mnogoplastnega keramičnega aktuatorja, ki bi dosegal pomike nekaj  $\mu\text{m}$  pri napetostih nekaj sto volтов.

Za piezoelektrične naprave najbolj pogosto uporabljajo keramiko svinčevega cirkonata titanata  $\text{Pb}(\text{Zr}_{1-x}\text{Ti}_x)\text{O}_3$  (kratko PZT), ki ima perovskitno strukturo. Najbolj uporabni so materiali z  $x$  med 0,46 do 0,50, kjer so poleg tetragonalnih možne tudi trigonalne osnovne celice, kar povečuje število možnih polarnih osi<sup>(3)</sup>.

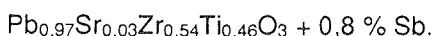
Piezoelektrični efekt PZT keramike lahko močno povečamo z dopiranjem, z dodajanjem majhnih količin snovi, ki v kristalni mreži zamenjujejo Pb, Zr ali Ti ione. Dodatki  $\text{Fe}^{3+}$ ,  $\text{K}^{1+}$  ali  $\text{Mg}^{2+}$  so akceptorji, tako dopirano keramiko imenujemo trdo keramiko, njene značilnosti pa so malo histereza in sorazmerno nizke vrednosti piezoelektričnih koeficientov; tipična vrednost za  $d_{33}$  je  $200 \cdot 10^{-12} \text{ mV}^{-1}$ , za  $d_{31}$  pa  $-100 \cdot 10^{-12} \text{ mV}^{-1}$ . Dodatki  $\text{Nb}^{5+}$ ,  $\text{Ta}^{5+}$  ali  $\text{La}^{3+}$  so donorji in povzročijo, da je nekaj svinčevih mest v kristalni mreži praznih, zato postanejo domene laže obrnljive. To je mehka keramika, njene značilnosti so večja histereza, visoke vrednosti piezoelektričnih koeficientov (tipična vrednost za  $d_{33}$  je  $500 \cdot 10^{-12} \text{ mV}^{-1}$ , za  $d_{31}$  pa  $-200 \cdot 10^{-12} \text{ mV}^{-1}$ ) in visoka dielektrična konstanta<sup>(4)</sup>.

Ker smo želeli velike pomike aktuatorja pri nizkih napetostih, smo izbrali material z visoko vrednostjo  $d_{33}$ , ki je



Slika 5: Postavitev eksperimenta za merjenje odziva aktuatorja na enosmerno napetost

bil razvit za akustične piezokeramične elemente. To je donorskog dopirana PZT keramika s formulo:



## 2.2 Priprava piezokeramičnih ploščic

Iz granulata PZT smo stisnili vzorce  $15 \times 15 \times 8$  mm, jim odstranili vezivo ter sintrali pri  $1300^\circ\text{C}$ . Po sintranju smo dobili keramiko z gostoto, ki je bila večja od 95 % teoretične vrednosti in z velikostjo zrn pretežno med 5 - 10  $\mu\text{m}$ . Z žaganjem in brušenjem smo pripravili ploščice  $13 \times 13 \times 0,5$  mm, na katere smo s sitotiskom nanesli srebrove elektrode s konfiguracijo, prikazano na sliki 4. Neaktivni del med elektrodo in robovi ploščice je bil 1 mm. Po sušenju in žganju elektrod ter polarizaciji pri sobni temperaturi v električnem polju z jakostjo  $3 \text{ kV/mm}$  smo dobili elemente s povprečno vrednostjo  $d_{33} = 400 \cdot 10^{-12} \text{ mV}^{-1}$ .

## 2.3 Izdelava aktuatorja

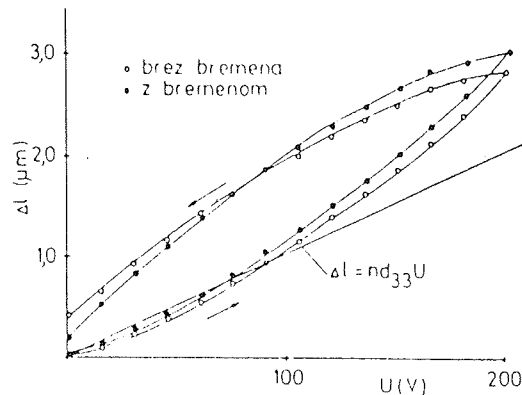
Lepilo, s katerim smo lepili ploščice v aktuator, smo izbrali po teh kriterijih:

Lepilo ni smelo biti električno prevodno, da ne bi pokvarilo konfiguracije elektrod.

Strjevanje lepila ni smelo potekati pri previsoki temperaturi, ker bi segrevanje keramike do temperature bližu Curiejeve temperature keramiko depolariziralo (ploščice so bile iz materiala, ki je imel Curiejevo temperaturo pri  $190^\circ\text{C}$ ).

Lepilo je moralo imeti čim manjši elastični modul, da bi bil vpliv lepila na pomik aktuatorja čim manjši.

Vsem trem zahtevam ustreza lepilo Loctite 638. Ploščice smo zlepili po shemi na sliki 4. Za zunanje elektrode smo uporabili sušečo srebrovo pasto, ki smo jo nanesli ročno. Aktuator je sestavljalo 26 ploščic. Podrobnosti izdelave so opisane v viru 5.



Slika 6: Raztezek aktuatorja v odvisnosti od enosmerne napetosti

## 3. REZULTATI IN DISKUSIJA

### 3.1 Statične meritve

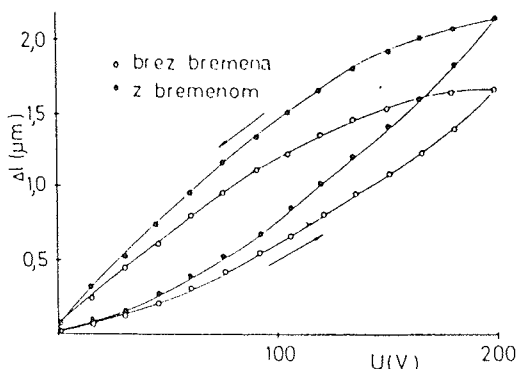
Za merjenja odziva aktuatorja na enosmerno napetost smo aktuator namestili v kovinski okvir tako, da smo pomik, ki se je prenašal prek bata, registrirali z merilnikom MI-6B (Genevoise). Inštrument zaznava pomike do  $0,01 \mu\text{m}$ . Shema meritve je prikazana na sliki 5.

Pri merjenju je bil aktuator postavljen navpično, nanj je delovala samo sila teže bata, velika  $0,6 \text{ N}$ . Pri drugem merjenju pa je na aktuator poleg sile teže bata pritiskala tudi vzmet s silo  $70 \text{ N}$ , kar je pomenilo mehansko obremenitev  $0,4 \text{ MPa}$ . Rezultate meritve raztezkov kaže slika 6. Premica na sliki 6 kaže odvisnost raztezka od napetosti, kot ga predvideva enačba

$$\Delta l = n \cdot d_{33} \cdot U, \text{ kjer je } n = 26 \\ \text{in } d_{33} = 400 \cdot 10^{12} \text{ mV}^{-1}.$$

Ko smo predznak napetosti obrnili, se je z naraščajočo napetostjo aktuator krčil. Izmerjeni skrčki so precej manjši od izmerjenih raztezkov (slika 7).

Velikost histereze smo izračunali tako, da smo poiskali napetosti, kjer je histerezna zanka najširša in razliko



Slika 7: Skrček aktuatorja v odvisnosti od enosmerne napetosti

med obema pomikoma pri tej napetosti delili z največjim pomikom (pri 200 V).

Dobili smo takšne rezultate:

	velikost histereze
raztezek brez vzmeti	31,8 %
raztezek z vzmetjo	26,6 %
skrček brez vzmeti	33,5 %
skrček z vzmetjo	30,7 %

Z analizo grafov lahko opazimo naslednje lastnosti aktuatorja:

1. Histereza je nekoliko manjša v primeru, ko je bil aktuator obremenjen z vzmetjo.
2. Pomiki so pri z vzmetjo obremenjenem aktuatorju nekoliko večji kot pri neobremenjenem.
3. Raztezki so samo pri nizkih električnih napetostih takšni, kot jih napoveduje enačba  $\Delta l = n d_{33} U$ , pri večjih napetostih (nekako od 100 V naprej pa je izmerjeni raztezek nekoliko večji od izračunanega).

Medtem, ko je prva lastnost verjetno posledica tega, da bat zaradi vzmeti bolje sledi pomikom aktuatorja pa sta druga in tretja lastnost verjetno posledici lastnosti keramike.

Domnevamo, da je  $d_{33}$  keramike pri mehanski obremenitvi narasla, tako kot sta ugotovila Meeks in Timme<sup>(6)</sup>. Zato smo dobili pri obremenjenem aktuatorju večje pomike, kot pri neobremenjenem. Pri tem je seveda treba biti previden, saj aktuator poleg keramike sestavljajo še elektrode, lepilo in ohišje, ki tudi vplivajo na lastnosti aktuatorja, njihovega vpliva pa ne poznamo.

Tudi pojav, da je pri večjih električnih napetostih izmerjeni pomik večji od izračunanega, so pri poskusih s keramiko že opazili. Pri PZT keramiki s tetragonalno obliko osnovne celice v feroelektričnem stanju lahko domene, glede na to, kako se obračajo v zunanjem električnem polju, razdelimo v dve skupini, 90 stopinjske in 180 stopinjske<sup>(7)</sup>. Pri 180 stopinjskih domenah se orientacija njihovega dipolnega momenta zaradi elek-

tričnega polja obrne za  $180^\circ$ , kar ne povzroča sprememb dimenzijske vzorca. Pri 90 stopinjskih domenah pa se orientacija dipolnega momenta zaradi električnega polja obrne za  $90^\circ$ . Ker ima orientacija dipolnega momenta smer daljše stranice v tetragonalni osnovni celici, se za  $90^\circ$  obrne tudi smer te stranice, kar povzroča spremembo dimenzijske vzorca.

Pri polarizirani PZT keramiki sprememba električnega polja skoraj ne vpliva na obračanje 180 stopinjskih domen, vpliva pa na obračanje 90 stopinjskih domen<sup>(8)</sup>. Razlika med izmerjenim in izračunanim pomikom bi najtorej bila posledica obračanja 90 stopinjskih domen, z večanjem števila domen, orientiranih v smeri polarizacije, se namreč veča tudi piezoelektrični efekt.

Morda je tudi to, da je skrček, ki smo ga izmerili, manjši od raztezka, posledica obračanja domen, kar električno polje v nasprotni smeri polarizacije zmanjšuje število domen, ki prispevajo k piezoelektričnemu efektu.

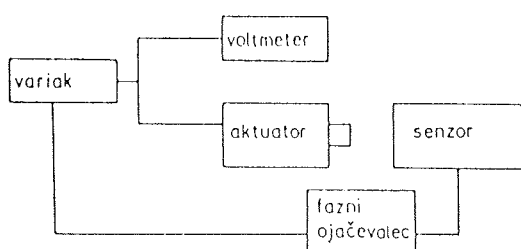
### 3.2 Dinamične meritve

Poleg odziva aktuatorja na enosmerno napetost smo poskusili izmeriti tudi odziv aktuatorja na izmenično napetost; slika 8 kaže postavitev eksperimenta.

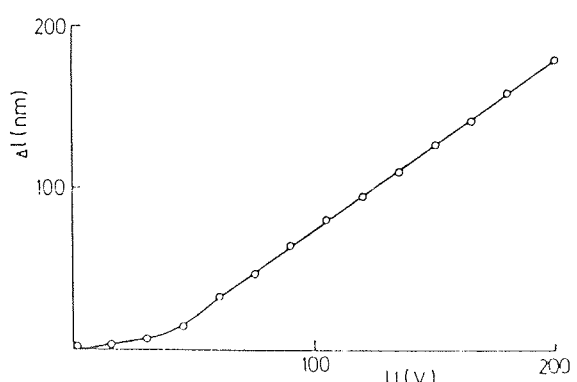
Pomike aktuatorja smo merili s senzorjem z optičnim vlaknom, ki ga sestavljajo laser, optična vlakna in fotodetektor<sup>(9)</sup>.

V našem eksperimentu smo aktuator poganjali z napetostjo iz variaka s frekvenco 50 Hz, zato smo tudi na referenčni vhod ojačevalca pripeljali sinusen signal iz variaka s frekvenco 50 Hz. Na vhod ojačevalca smo pripeljali signal iz fotodetektorja. S faznim ojačevalcem smo merili amplitudo signala s frekvenco 50 Hz iz fotodetektorja. Pri občutljivosti senzorja  $3 \text{ nm}(\mu\text{V})^{-1}$  smo dobili rezultate, ki jih prikazuje slika 9.

Ker je bil aktuator med merjenjem v vodoravnem legu, nismo mogli meriti brez vzmeti, ki je zagotavljala, da je bat sledil pomiku ploščic. Izmerjeni pomiki so več kot desetkrat manjši od pomikov, izmerjenih pri enosmerni



Slika 8: Postavitev eksperimenta za merjenje odziva aktuatorja na izmenično napetost



Slika 9: Izmerjen pomik aktuatorja v odvisnosti od amplitude izmenične napetosti s frekvenco 50 Hz.

napetosti. Domnevamo, da zaradi histereze odziv aktuatorja na sinusno izmenično napetost ni sinusno nihanje, zato nihanje aktuatorja vsebuje poleg sinusnega nihanja s frekvenco 50 Hz še člene z višjimi harmonskimi frekvencami, ki pa jih pri merjenju s faznim ojačevalcem nismo izmerili.

#### 4. SKLEPI

Sestavili smo piezoelektrični aktuator, uporabljajoč piezokeramiko na osnovi trdne raztopine  $Pb(Zr,Ti)O_3$ .

Izbrali smo material, ki ima visoko vrednost konstante  $d_{33}$ , vendar tudi veliko histerezo.

Pri aktuatorju, zlepljenem iz 26 ploščic, smo pri enosmerni napetosti 200 V izmerili raztezek 2  $\mu\text{m}$ .

Pri aktuatorju, obremenjenem z mehansko napetostjo  $\sigma_3 = 0,41 \text{ MPa cm}^{-2}$ , smo izmerili večje pomike kot pri neobremenjenem aktuatorju, kar naj bi bila posledica odvisnosti vrednosti  $d_{33}$  za PZT keramiko od  $\sigma_3$ .

Pri napetostih, večjih od 100 V, je bil izmerjen raztezek večji od raztezka, ki ga predvideva enačba  $\Delta l = n d_{33} U$ . To je verjetno posledica obračanja 90 stopinjskih domen v smer električnega polja.

Lastnosti, ki smo jih opazili pri merjenju pomikov aktuatorja, smo poskusili pojasniti z lastnostmi keramike, ne moremo pa izključiti vplivov ostalih sestavnih delov (lepila, ohišja...) na lastnosti aktuatorja.

Odvisnost pomika aktuatorja od amplitude izmenične napetosti s frekvenco 50 Hz smo izmerili z doma izdelanim senzorjem z optičnim vlaknom, nismo pa uspeli izvesti merjenja pomika aktuatorja v odvisnosti od frekvence izmenične napetosti.

Konfiguracija elektrod je takšna, da so v keramiki tudi neaktivne plasti, čemur bi se lahko izognili z drugačno tehnologijo; s preizkušanjem več vrst keramik in lepil pa bi lahko zmanjšali histerezo, ki je glavna pomanjkljivost piezoelektričnega aktuatorja.

#### 5. VIRI

1. P. S. Brady, Optomechanical Bimorph Actuator, *Ferroelectrics* **50** (1983) 353
2. S. Takahashi, Longitudinal Mode Multilayer Piezoceramic Actuators, *Ceram. Bull.* **65** (1986) 1156
3. V. A. Isupov, Some Aspects of the Physics of Piezoelectric Ceramics, *Ferroelectrics* **46** (1983) 217
4. T. R. Shroud, A. Safari, W. A. Schulze, Low Field Poling of Soft PZTs, *Ferroelectric Letters* **44** (1983) 227
5. M. Modic, Piezoelektrični aktuator, diplomsko delo, Fakulteta za naravoslovje in tehniko Univerze v Ljubljani, Ljubljana 1989
6. S. W. Meeks, R. W. Timme, Effects of One-Dimensional Stress on Piezoelectric Ceramics, *J. Appl. Phys.* **46** (1975) 4334
7. D. Berlincourt, H. A. Krueger, Domain Processes in Lead Titanate Zirconate and Barium Titanate Ceramics, *J. Appl. Phys.* **30** (1959) 1804
8. N. Uchida, T. Ikeda, Temperature and Bias Characteristics of  $Pb(Zr,Ti)O_3$  Families Ceramics, *Jap. J. Appl. Phys.* **4** (1965) 867
9. A. Alajbegović, Brezdotična detekcija ultrazvoka z optičnim vlaknom, Fakulteta za strojništvo, Ljubljana, 1987

Marko Modic, dipl.ing.  
Železarna Ravne  
62390 Ravne na Koroškem

dr. Marija Kosec,  
Institut "Jožef Stefan"  
Jamova 39  
61000 Ljubljana

dr. Janez Pirš  
Institut "Jožef Stefan"  
Jamova 39  
61000 Ljubljana

prof. dr. Janez Možina  
Fakulteta za strojništvo  
Univerza v Ljubljani  
Murnikova 2  
61000 Ljubljana

Prispelo: 26. 03. 91      Sprejeto: 04. 06. 91